

This paper is in a collection of

**“Historic Papers in Electrochemistry”**

which is part of

**Electrochemical Science and Technology Information  
Resource (ESTIR)**

(<http://electrochem.cwru.edu/estir/>)

# CHEMICKÉ LISTY

pro vědu a průmysl

Orgán „Československé společnosti chemické v Praze“.  
Organe de la „Československá společnost chemická à Prague“.  
(Société chimique de Tchécoslovaquie).

Redakční rada:

Dr. JIŘÍ BABOROVSKÝ, prof. vysoké školy technické v Brně; dr. JOS. BURIAN, prof. vysokého učení technického v Praze, dr. FRT. PLZÁK, prof. Karlovy univerzity v Praze, dr. JAN ŠATAVA, prof. vys. učení technického v Praze  
dr. EMIL VOTOČEK, prof. vys. učení technického v Praze.

Pořádal:

Ing. JOS. HANUŠ, prof. vys. učení technického v Praze.

## ROČNÍK XVI. (1922).

(Listy Chemické roč. XLVI, — Časopis pro průmysl chemický roč. XXXII.  
56 vyobrazení a 2 podobizny).

V PRAZE, 1922

Vydává a nakládá Československá společnost chemická v Praze.  
Tiskem Alberta Malfé na Král. Vinohradech.

s korrodovaného povrchu častěji upotřebené kathody odpadávají částice  $\text{AgCl}$  resp.  $\text{Ag}$  snáze, když  $\text{Cl}^-$  přechází do roztoku, nežli když se na anodě z roztoku vylučuje. Z tohoto důvodu se doporučuje upotřebovat při shora uvedených pokusech elektrod co možná s hladkým povrchem. Zato při stanovení převedené vody (veličiny  $\xi$ ) poskytuje anoda z nezvláštně příčiny výsledky spíše vysoké.

Na konec budí ještě poznamenáno, že používáme rčení » $\text{Li}$ -ion adduje  $x$  molekul vody« jako výrazu nejkratšího, nechtějíce některak rozhodovati o tom, váže-li ion  $\text{Li}^+$  vodu chemicky, či jde-li tu o volnější vazbu, působenou elektrostatickými silami ve smyslu názorů Bornových a Lorenzových\*).

Další propracování této metody stanovení hydratace iontů vyhrazujeme si pro své příští práce.

#### R e s u m é.

1. Konstruován byl nový přístroj, vhodný ke stanovení převodu a zároveň hydratace iontů, opatřený dvěma blanami z pergamenového papíru, jež dělí střední vrstvu od roztoků kathodového a anodového, a opatřený dále dvěma zábrusy tak, aby bylo lze přístroj rozebrati a bez ztráty vážiti kathodovou nádobu i s roztokem zvlášť a odděleně od anodové.

2. Hydratace iontu  $\text{Li}^+$  se stanoví ze změny váhy roztoků elektrodrových a ze změny jejich koncentrace, jež se určuje gravimetricky.

3. Elektroosmose, která komplikuje stanovení hydratace iontu touto metodou, se určuje kvantitativně ze změny koncentrace a ze specifických hmot střední vrstvy před pokusem a po něm, upotřebí-li se v popsaném přístroji jen jediné blány pergamenové.

$\text{Li}^+$ -ion adduje také o 1 molekulu vody více nežli ion  $\text{Cl}^-$ . Pravé převodné číslo kationtu  $\text{Li}^+$  v 0·1-norm. roztoku  $\text{LiCl}$  je  $0\cdot3128 \pm 0\cdot0048$ .

#### Elektrolysa se rtuťovou kapkovou kathodou.

Dr. J. Heyrovský.

#### Úvod.

Profesor B. Kučera zavedl (Drud. Ann. 11, p 698, r. 1903) pro přesné měření povrchového napětí polarisované rtuti metodu vážení

\*) Viz R. Lorenz, I. c. str. 216 a násled.

5. Navrhoje se, aby se napříště hydratace iontů udávala relativně, při čemž by se hydratace iontu  $\text{H}^+$ , jako iontu nejpohyblivějšího, pokládala za rovnou nulu.

Z ústavu teoretické a fyzikální chemie na české vysoké škole technické v Brně.

#### R e s u m é.

J. Baborovský et J. Velišek: L'hydratation de l'ion  $\text{Li}^+$ .

1. Les auteurs construisent un nouvel appareil propre à déterminer le transport des ions en même temps que leur hydratation. Il est muni : 1<sup>o</sup> de deux membranes de papier parchemin séparant la couche médiane des solutions cathodique et anodique ; 2<sup>o</sup> de deux fermetures bouchées à l'émeri permettant de démonter l'appareil sans produire de pertes, et de peser le vase cathodique (avec son contenu) séparément du vase anodique.

2. Ils calculent l'hydratation de l'ion  $\text{Li}^+$  en déterminant les changements de poids et de concentration que subissent les solutions aux électrodes. Pour la mesure de ces derniers ils opèrent par voie gravimétrique.

3. L'électroosmose complique la détermination de l'hydratation des ions par la méthode décrite. Pour l'évaluer, les auteurs constatent — après avoir remplacé, dans leur appareil, les deux membranes par une seule — les différences qu'il y a, dans les concentrations et les poids spécifiques de la couche médiane, avant et après chaque expérience.

4. L'ion  $\text{Li}^+$  ne fixe que 1 mol. d'eau de plus que l'ion  $\text{Cl}^-$ . Le véritable nombre de transport du cathion  $\text{Li}^+$ , en solution n/10 de  $\text{LiCl}$ , est  $0\cdot3128 \pm 0\cdot0048$ .

5. Les auteurs proposent qu'à l'avenir on exprime l'hydratation des ions par des valeurs relatives se rapportant à celle de l'ion  $\text{H}^+$ , le plus mobile de tous, et qu'on mettrait égal à 0. E. Votoček.

kapiláry  
kapilární  
povrchové  
k polari-  
K u č e r  
Při pr-  
no, že se  
dou, v n-  
značné  
vznikne  
Proto s-  
vhodnou  
se kovu-  
vajíce v-  
alkalick-  
Krom-  
čili velk-  
skytuje  
v okolí  
tického  
nový č-  
odstraň-  
trody,  
jinak v-  
ky dop-  
anodu,  
pokrýv-  
chlorid-  
známý  
merku-  
polaris-  
S ta-  
ritutu v-  
a mag-  
dík, a-  
ně sle-  
Již  
doby  
snadn-  
lučuj-  
toku-  
laris-  
pek,  
pola-  
E. F.  
V  
par-  
s. o.  
v  
I

kapek. Při této metodě polarisujeme rtuť kapající zvolna z úzké kapiláry do roztoku, při čemž druhou elektrodou je vrstva rtuti na dně nádobky. Výsledky jeho měření jsou shodné s výsledky původní Lipmannovy metody, při níž polarisovaná rtuť zůstává uvnitř

kapiláry; oba způsoby dělají stejně »elektrokapilární paraboly«, znázorňující vztah mezi povrchovým napětím mezi rtutí a roztokem k polarisující elektromotorické síle, metoda K u e r o v a ještě však přesnější.

Při práci tuto metodou bylo pozorováno, že se na kapkách rtuti, činíme-li je kathodou, v neutrálním a alkalickém prostředí i při značné polarisaci vodík nevyvíjí a že spíše vznikne amalgama i nejpositivnějších kovů. Proto se zdála takováto kapková elektroda vhodnou ke studiu kathodického vylučování se kovů, jež by jinak reagovaly s vodou, dělajíce vodík, jako jsou kovy alkalií a kovy alkalických zemin.

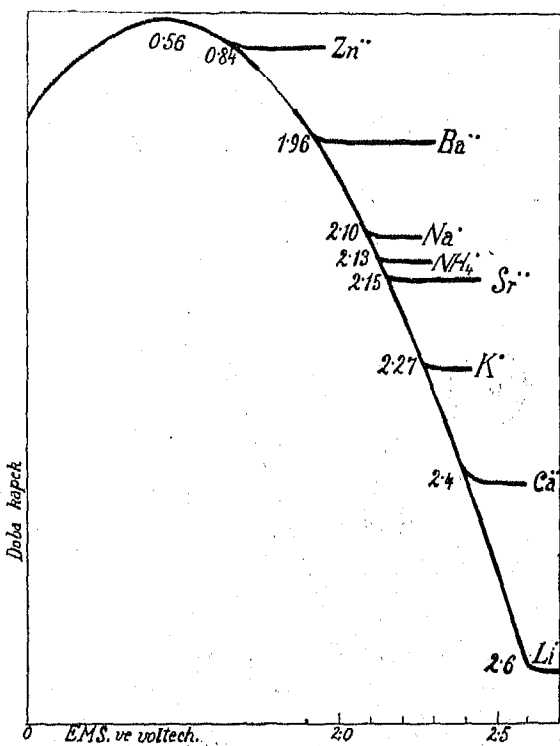
Kromě tohoto nesnadného vývoje vodíku čili velkého »přepětí« čisté kapající rtuti, poskytuje kapková kathoda také jiné výhody: v okolí elektrody se stýká následkem automatického míchání odpadávajícími kapkami stále nový čistý povrch rtuti s roztokem, čímž se odstraňuje změna koncentrace v okolí elektrody, t. zv. »koncentrační polarisace«, jež jinak vždy ruší měření polarisační; dále kapky dopadají do rtuti na dně, jež slouží za anodu, míchají roztok i tam. Tato vrstva rtuti, pokrývající dno nádoby, udržuje v roztoku chloridu nebo hydroxydu během polarisace známý potenciál elektrod kalomelových nebo merkuri-oxydových, na něž můžeme potenciál polarisované kathody vztahovat.

S takovýmto uspořádáním lze na kapkách rtuti vylučovati z vodních roztoků i calcium a magnesium dříve, než se počne vyvíjeti vodík, a tvoření jejich amalgam lze tak podrobne sledovati.

Jíž prostým stanovením váhy kapek nebo doby kapek polarisované rtuti lze vyšetřiti snadnost, s níž se kov na rtuťové kathodě vylučuje. Jakmile totiž nastane elektrolyza roztoku a na kathodě vzniká amalgama, nelze polarisovati rtut na vyšší potenciály a váha kapek, jakož i doba kapek se dále při zvětšování polarisující elektromotorické síly (zkráceně E. M. S.) nemění.

V tom bodě se změní pak elektrokapilární parabola a křivka postupuje rovnoběžně s osou ūseček (viz obr. 1).

Graf na obrázku 1., znázorňující změnu povrchového napětí rtuti polarisované v decinormálních roztocích chloridů příslušných kationů, ukazuje řadu, podle níž se kovy s větší nebo menší ochotou na kathodě vylučují. Výsledky nejsou však úplně přesné, neboť ohyb paraboly záleží, jak se shledalo, na podmín-



Obr. 1.

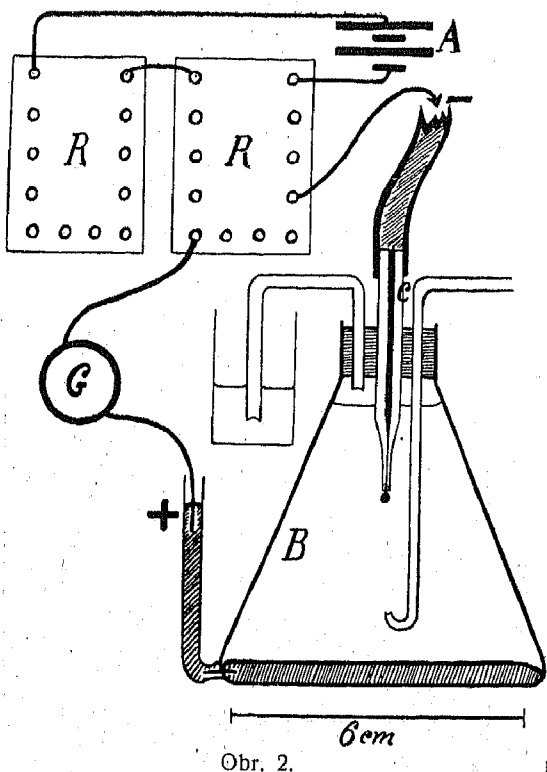
kých určujících intenzitu procházejícího proudu, t. j. na velikosti a rychlosti kapek, koncentraci roztoku a rozdílech nádoby.

Avšak mnohem přesnější metoda, již lze využít se kovů na kapkách rtuti od počátku přesně sledovati, spočívá ve měření velikosti proudu způsobeného polarisací, t. j. určením t. zv. křivky intenzity a napětí. Pojednání, jež tuto následuje, popisuje taková měření.

#### Měření proudu.

Uspořádání přístroje je naznačeno na obr. 2.

Popis přístroje: Průtok z dvojího akumulátoru A byl veden dvěma kolíkovými rheostaty R. Z jednoho z nich byl proud odvětven do elektrolytické nádobky B, konické to skleněné baňky; vcházel do větší vrstvy rtuti na dně nádobky ponořen platinového kontaktu, negativní pol. pak byl spojen se rtuťovým reservoirem (na obr. nenaznačen) umístěným nad skleněnou kapilárou C, s níž byl spojen tlustostěnnou kaučukovou rourou rtuti naplněnou. Rtut procházela dále kapilárou v korkové zátce nádobky a vykápávala do roztoku. Dvě skleněná rourky v zátce slouží k přívodu a unikání vodíku. Průtok do ná-



Obr. 2.

dobky odvětvený procházel citlivým galvanometrem G.

Kapiláry byly vytaženy v uzounký konec z tlustostěnných (teploměrových) rour o světlosti asi 1 mm; byly upraveny do konce kaučukové roury s reservoairem rtuti spojené, na vhodném místě naříznuty a hrot pak ulomen pod vodou, takže rtuť z reservoaire vnikla do úzkého konce kapiláry dříve než voda. Ještě důležito, aby vnitřek kapiláry nebyl zaprášen nebo jinak znečištěn; ježto se však nesní kapiláry propírat, nutno použít skla co nejnovějšího, jež je uvnitř dokonale čisté. Ulomení jemně vytaženého konce kapiláry nejlépe voliti tak, aby doba kapky v destilované vodě při reservoaire asi 25 cm nad koncem kapiláry trvala 5 až 8 vteřin; takovýto otvor má asi 0,02—0,05 mm v průměru a poskytuje v roztocích kapky 3 až 5 vteřin trvající.

Při delším polarisování se do kapiláry dostává často vlhkosť, jež pak způsobuje vývoj vodíku uvnitř kapiláry; proto byly kapiláry často vyměňovány novými a neužívalo-li se jich, nechala se rtuť z nich zvolna kapat do destilované vody.

Používaný galvanometr byl jednoduchý zrcátkový, typu Kelvinova, s astatickou mag-

netkou, o odporu 50 ohmů; úchylka 1 mm při škále 2 m od zrcátka odpovídala  $10^{-8}$  ampérů.

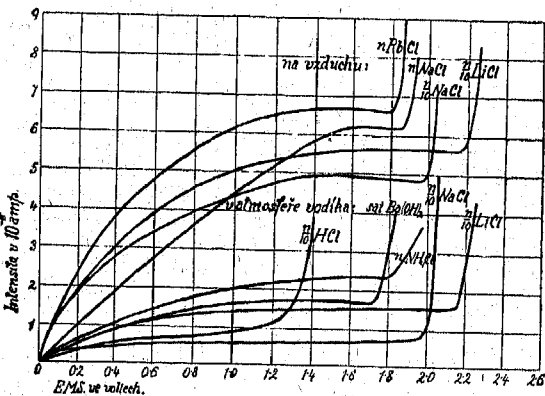
Rtuť byla vyčištěna chemicky a pak destilací ve vakuum.

**P o s t u p p r i m ě r e n í:** Nejprve byl celkový odpor v rheostatech upraven tak, aby počet ohmů odpovídal počtu milivoltů elektromotorické sily akumulátoru (tedy kol 4000). Tato E. M. S. byla stanovena kompenzaci s normálním Westonovým článkem (1·0184 voltu při  $20^{\circ}\text{C}$ ) s přesností na desetinu milivoltu a často kontrolována. Elektrolytická nádobka byla pak naplněna roztokem připraveným z nejčistších preparátů (firmy Kahlbaum nebo Merck) a zátka zalita parafinem. Aby se zabránilo oxydaci vzduchem v okolí kathody, bylo třeba před elektrolyzou prováděti roztokem po 30 až 40 minut vodik.

Teplota místnosti byla udržována co možná na  $20^{\circ}\text{C}$ ; maximální úchylky, při nichž bylo pracováno, byly  $\pm 1^{\circ}\text{C}$ ; v tomto rozmezí nebyl pozorován vliv teploty; zůstává patrně v mezech pozorovacích chyb.

Když byl určen nulový bod galvanometru, byla polarisující E. M. S., vysílaná na rtutové elektrody nádobky odvětvením z rheostatu, povolna stupňovitě zvětšována, při čemž příslušné úchylky galvanometru byly odčítány.

**P u z o r o v á n í:** Některé typické křivky znázorňující závislost proudu prostupujícího elektrolytem na polarisující E. M. S., jež byly takto obdrženy, podává diagram obr. 3.



Obr. 3.

Pozorujeme, že roztoky, jež byly elektrolysovány na vzduchu v otevřené kádince bez předchozího zavádění vodíku, vykazují značně větší proud než roztoky, z nichž vzduch byl vypuštěn vodíkem. Galvanometrická odčítání s roztoky na vzduchu vykazovala vždy

oseilace  
synchro-  
nisté zp-  
vrch vý-  
oxydaje

Když  
sféře v  
mnohem  
zí úplně  
vzrůstá  
E. M. S.  
takže p-  
voltů p-  
škály.

Tato  
vzrůst  
měrech  
vzduch  
leží tol-  
nost té-  
zvatí »  
notě se  
byla zj-  
užíváno  
od 1 do

6

Intenzita v  $10^{-4}$  amp.

0,165

E

Zře-  
ného  
dění S  
(jako  
průmě-  
dvojn-  
tū (ja-  
v nich  
centra  
In ne-  
37, p.

Roz-  
dováv

oseilace v určitém rozmezí (1—2 díleů škály) synchronické s dobou kapek katody, což zajišťuje různou rychlosť, s níž se po vrch vytvářejí se a odpadávají kapek oxyduje.

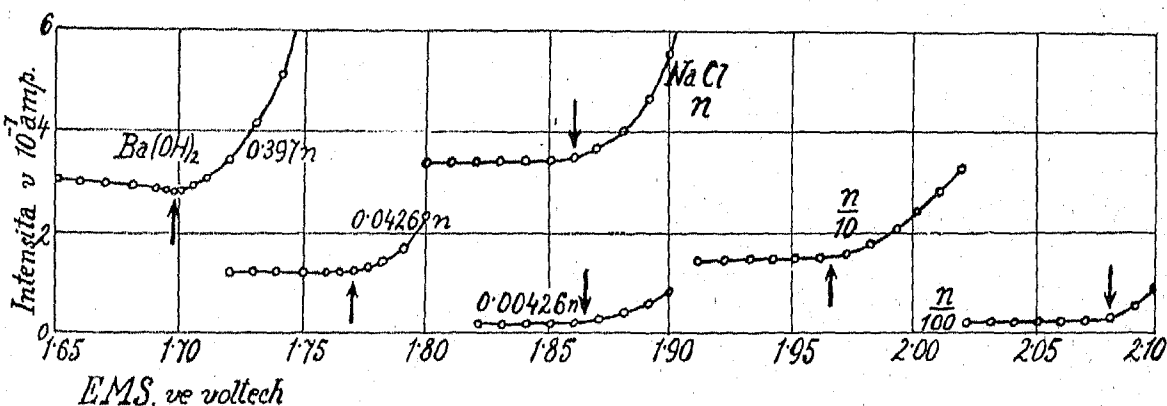
Když však měření jsou prováděna v atmosféře vodíkové, pak procházející proud je mnohem menší a oscilace galvanometru zmizí úplně. Se zvětšováním polarisující E. M. S. vzrůstá proud zprvu velmi nepatrně, od určité E. M. S. však počínaje náhlé rychle vzrůstá, takže pak zvětšení E. M. S. o několik centivoltu přivede zreátko galvanometru ze skály.

Tato kritická E. M. S., při níž nastává náhlý vzrůst proudu, jest zcela nezávislá na rozměrech elektrod, dobu kapek nebo množství vzdachu v roztoku; bylo nalezeno, že záleží toliko na koncentraci. Přesná stanovitelnost této kritické polarisace, iž možno nazvat »rozkladné napětí«, ježto při této hodnotě se počíná elektrolyt zřejmě rozkládati, byla zjištěna u různých roztoků, v nichž používáno bylo různých kapilár, s dobou kapek od 1 do 5 vteřin, s různými vzdálenostmi mezi

elektrodami (0,5 až 6 cm) a různými povrchy rtuti na dně (9 až 60 cm<sup>2</sup>) při měnlivém odporu v rheostatech (od 0,1 až k 10 ohmům na 1 milivolt E. M. S.).

Toliko při rychle kapající rtuti (při době kapky menší jedné vteřiny) nastávala elektrolyza o něco později; avšak u pomalých kapek (od 1,5 sek.) byly výsledky na čase nezávislé. Čím potvádějí rtuť kape, tím precisií lze odečítati úchylky galvanometru; proto používáno bylo kapilár s velmi pomalým výtokem, dávajících při »rozkladném napěti« kapky asi 3 vteřiny trvající.

Za hodnotu tohoto rozkladného napěti byla vzata nejmenší E. M. S., při níž proud počíná vzrůstat v geometrickém poměru se vzrůstem v napěti. Následkem náhlosti vzrůstu proudu bylo možno tuto hodnotu určiti ve většině případu na 2—4 milivolyt přesně, ve zvláště příznivých pak na millivolt. Za tím náčelem byla zvětšována E. M. S. v kritické oblasti postupně vždy o 5 milivoltů a hodnota rozkladného napěti byla stanovena z grafu (viz obr. 4.).



Obr. 4.

Zředěné roztoky vyžadují většího rozkladného napěti, a to při desateronásobném zředění solí jednomocených kationtů a aniontů (jako NaCl) se posune tento rozkladný bod průměrně o 110 milivoltů, kdežto u solí z dvojmocených kationtů a jednomocených aniontů (jako Ba(OH)<sub>2</sub>) o 75 milivoltů; čísla to, v nichž poznáváme diference známé z koncentračních článků »bez převodu« (na př. Mc. Innes a Parker Journ. Amer. Chem. Soc. 37, p. 1445, 1915).

Roztoky, ať připraveny vážením nebo zředováním, různé provenience a v různých do-

bách, dávaly vždy shodné hodnoty.

Stopy ušlechtilejších kovů nebo oxydačních činidel v roztocích způsobují nepravidelný vzrůst proudu a obtíže při odečítání, zejména v silně koncentrovaných roztocích, pro něž bylo proto nutno používat obzvláště čistých preparátů.

Při elektrolyze s velmi malou kathodou (t. j. kapkou rtuti), již jest používáno v těchto pokusech, a poměrně velikou anodou soustředuje se veškerá polarisace na kathodou, takže jen tam se mění potenciál polarisované rtuti, zůstává však nezměněn na velké rtuťové an-

dě. Jejíkož potenciál rtuti na dně jest znám, lze snadno zjistit, že při rozkladném napětí potenciál kathody závisí také na koncentraci kationtů v roztoku. K verifikaci toho byly elektrolysovány různě koncentrované roztoky chloridů a hydroxydů téhož kovu a z pozorovaného rozkladného napětí byl vypočten potenciál, při němž se kation vylučuje odečtením potenciálu anodové elektrody, vztaženého na normální kalomelovou elektrodu.

K tomu bylo třeba stanoviti potenciálné diference rtufové vrstvy na dně elektrolytu proti normální elektrodě a proto každým roztokem byla plněna kalomelová, po případě merkuri-oxydová elektroda a její potenciál proti normální kalomelové elektrodě stanoven. Bylo nalezeno, že potenciál těchto pomocných elektrod souhlasil i během elektrolyzy s potenciálem vrstvy rtuti na dně nádobky plněné týmž roztokem. Difusní potenciály mezi roztoky a normálním roztokem chloridu draselného kalomelové elektrody byly eliminovány roztokem chloridu draselného ze čtvrtiny, z poloviny a úplně nasyceným, z čehož byla extrapologována hodnota bez difusního potenciálu.

Výsledky jsou sestaveny v tab. 1. a 2.

Jestliže tedy jest rozkladné napětí  $E$  rovno rozdílu potenciálu  $\pi_0$  čisté rtuti pokrývající dno nádoby a potenciálu  $\pi'$ , při němž se vylučuje kation, pak potenciál  $\pi'$  vypočtené jako  $E - \pi_0$ , musí se při různých zředěních měnit s logaritmickou koncentrací kationtu (jako u koncentračních článeků). Pak lze vypočítat z různých zředění pro každý kation hodnotu  $\pi_N$  (tab. 1 a 2) označující potenciál, při němž se na rtufové kathodě vylučují ionty ze svého normálního roztoku. K témuž vypočtu bylo použito známých výsledků z koncentračních článeků při teplotě 18–20° C, udávajících pro desateronásobné zředění pokles potenciálu u jednomocných kationtů (jako H<sup>+</sup>, Ag<sup>+</sup>) o 56 milivoltů, při stonásobném o 114, kdežto u dvojmocných kationtů (na př. u Zn<sup>2+</sup>, Ba<sup>2+</sup>, Hg<sup>2+</sup>) o 26, resp. o 54 milivoltů. (Viz. A b e g g, A u e r b a c h, L u t h e r, »Messung. E. K.« Abhandl. d. Bunsen-Gesell. čís. 5 a 8.)

Rada těchto normálních potenciálů vylučování kationtů na rtuti vychází (podle tab. 1 a 2):

Li	— 2·033 volt
K	— 1·883 »
Na	— 1·860 »
Cs	— 1·837 »
Rb	— 1·797 »
NH <sub>4</sub>	— 1·787 »
Ca	— 2·023 »
Mg	— 1·903 »
Sr	— 1·862 »
Ba	— 1·814 »

U roztoků solí Li a Ca, jež vyžadují obzvláště velkého rozkladného napětí, galvanometrická měření vykazovala často nestálosti, patrně proto, že byly znečištěné ostatními alkaliemi, jež se vesměs snadněji vylučují. Kromě toho při tak velké polarisaci, zvláště při rychlých kapkách a déle používaných kapilárách se vyvíjí občas bublinky vodíku. Takovéto poruchy byly u berylnatých solí, reagujících následkem hydrolyzy kysele, tak značné, že hodnotu rozkladného napětí nebylo lze zjistit. Již slabým okyselením mění se totiž elektrolyza soli na elektrolysu kyseliny (na př. HCl na obr. 3) a pak se vodík vyvíjí nejdříve. Naproti tomu prostředí i velmi slabě alkalické zvýší velice přepětí vodíku na kapkách rtuti a fluktuace galvanometru úplně odstraňuje. Proto přidání několika kapek louhu k roztoku neutrální soli, jenž při elektrolyze činí obtíže, zlepší značně odečítání galvanometru; nutno však pamatovati, že alkalickým prostředím se mění potenciál rtuti na dně, jež jest pak třeba zvlášť změřiti.

Nejvhodnějšími roztoky pro měření polarisace touto metodou jsou roztoky alkalických hydroxydů, nejen pro znemožnění vývoje vodíku tím, že se potlačí koncentrace vodíkových iontů, nýbrž i pro dokonalou zvratnost procesu na rtufové anodě; rtuf se tam během průchodu proudu do jisté míry oxyduje a vzniká kysličník rtuťnatý, jenž však zároveň slouží jako depolarisátor rtufové vrstvy, jež v tomto případě jest elektrodou merkuri-oxydovou. Kromě toho kysličník rtuťnatý jest ještě méně rozpustný než kalomel, takže se rtuf tím méně dostane do roztoku.

Ze všech nejpříznivější pro měření jsou roztoky hydroxydů barnatého, neboť v nich jsou ionty znečištěním ušlechtilých kovů vyloučeny zásaditostí prostředí a stopou alkalií nebo alkalických zemin se mohou vyloučiti až při napětí mnohem větším.

Elektrolyza zředěných roztoků chloridu ammoniho se lišila od případů solí kovů jen pozvolnějším přírůstkem intenzity proudu při

n LiCl	
n/10	L
n/20	L
O·0382	
1·122	
0·1081	
n NaCl	
n/10	I
n/100	
1·0761	
O·1001	
O·0100	
n KC	
n/10	I
n/100	
n RbCl	
n/10	
n/100	
n/10	
n/100	
n NH <sub>4</sub> Cl	
n/10	
n/100	

m N	
m/10	
m/10	
m/10	
O·04	
m S	
m/10	
m/10	
O·11	
O·01	
m F	
n B	
n/10	
n/10	
O·30	
O·00	

Tab. 1.  
Vylučování se alkalických kovů.

Roztok	$E$ rozkladné napětí	$\pi_0$ potenciálná dife- rence anody od n-kalomel. elektrody	$\pi' = \pi_0 - E$ potenciál vylučo- vání se kationtu	$\pi_N$ normální vylučo- vací potenciál kationtu
n LiCl . . . . .	2.05	*) 0.00	- 2.05	- 2.05
n/10 LiCl . . . . .	2.16	+ 0.052	- 2.11	- 2.05
n/20 LiCl . . . . .	2.22	+ 0.065	- 2.15	- 2.07
0.0382 n LiCl . . . . .	2.26	+ 0.085	- 2.17	- 2.07
1.122 n LiOH . . . . .	1.867	- 0.1552	- 2.022	- 2.025
0.198 n LiOH . . . . .	1.960	- 0.1138	- 2.074	- 2.021
n NaCl . . . . .	1.860	+ 0.0002	- 1.860	- 1.860
n/10 NaCl . . . . .	1.908	+ 0.0521	- 1.916	- 1.860
n/100 NaCl . . . . .	2.080	+ 0.1072	- 1.973	- 1.859
1.076 n NaOH . . . . .	1.700	- 0.1598	- 1.860	- 1.862
0.100 n NaOH . . . . .	1.810	*) - 0.104	- 1.914	- 1.858
0.0100 n NaOH . . . . .	1.925	*) - 0.048	- 1.973	- 1.859
n KCl . . . . .	1.883	0.000	- 1.883	- 1.883
n/10 KCl . . . . .	1.990	0.0532	- 1.937	- 1.881
n/100 KCl . . . . .	2.108	0.1080	- 2.000	- 1.886
n RbCl . . . . .	1.795	*) 0.00	- 1.795	- 1.795
n/10 RbCl . . . . .	1.905	*) 0.053	- 1.852	- 1.796
n/100 RbCl . . . . .	2.020	*) 0.108	- 1.912	- 1.798
n/10 CsCl . . . . .	1.948	*) 0.0532	- 1.895	- 1.839
n/100 CsCl . . . . .	2.055	0.1077	- 1.947	- 1.833
n NH <sub>4</sub> Cl . . . . .	1.795	0.004	- 1.791	- 1.787
n/10 NH <sub>4</sub> Cl . . . . .	1.900	0.056	- 1.844	- 1.788
n/100 NH <sub>4</sub> Cl . . . . .	2.010	0.110	- 1.900	- 1.786

\*) Hodnoty nepozorované přímo, nýbrž přejaté z jiných stejně koncentrovaných roztoků.

Tab. 2.  
Vylučování se kovů alkalických zemin.

Roztok	$E$	$\pi_0$	$\pi'_0 = \pi_0 - E$	$\pi_N$
m MgCl <sub>2</sub> . . . . .	1.890	*) - 0.011	- 1.901	- 1.901
m/10 MgCl <sub>2</sub> . . . . .	1.970	*) + 0.039	- 1.931	- 1.905
m/10 CaCl <sub>2</sub> . . . . .	2.090	*) + 0.039	- 2.051	- 2.025
m/100 CaCl <sub>2</sub> . . . . .	2.170	*) + 0.095	- 2.075	- 2.021
0.0455 n Ca(OH) <sub>2</sub> . . . . .	1.985	- 0.0880	- 2.073	- 2.024
m SrCl <sub>2</sub> . . . . .	1.850	0.011	- 1.861	- 1.861
m/10 SrCl <sub>2</sub> . . . . .	1.930	*) + 0.039	- 1.891	- 1.865
m/100 SrCl <sub>2</sub> . . . . .	2.010	*) + 0.095	- 1.915	- 1.861
0.119 n Sr(OH) <sub>2</sub> . . . . .	1.782	- 0.1140	- 1.896	- 1.862
0.0120 n Sr(OH) <sub>2</sub> . . . . .	1.857	- 0.0627	- 1.920	- 1.862
m BaCl <sub>2</sub> . . . . .	1.800	- 0.011	- 1.811	- 1.811
n BaCl <sub>2</sub> . . . . .	1.828	+ 0.004	- 1.824	- 1.816
n/10 BaCl <sub>2</sub> . . . . .	1.911	+ 0.0567	- 1.854	- 1.822
n/100 BaCl <sub>2</sub> . . . . .	1.981	+ 0.1088	- 1.872	- 1.810
0.397 n Ba(OH) <sub>2</sub> . . . . .	1.699	- 0.1337	- 1.833	- 1.815
0.0426 n Ba(OH) <sub>2</sub> . . . . .	1.770	- 0.0875	- 1.858	- 1.813
0.00426 n Ba(OH) <sub>2</sub> . . . . .	1.862	- 0.0363	- 1.898	- 1.826

\*) Hodnoty nepozorované přímo, nýbrž přejaté z jiných stejně koncentrovaných roztoků.

rozkladu (viz obr. 3). Totéž bylo pozorováno u roztoku magnesia a u velmi koncentrovaných roztoků kalcia, lithia a stroncia.

V koncentracích menších než  $n/100$  byly změny v proudu nepatrné a bod ohýbu se dal nesnadno stanovit; ve velmi koncentrovaných roztocích chloridů překáží vedle uvedených znečištění také ta okolnost, že rtuť tvořící komplexy, se dostává do roztoku, čímž se proud během elektrolyzy zvětšuje. Z podobného důvodu nebylo lze používat sulfátů, neboť během elektrolyzy vzniká něco síranu rtuťného, jenž jest dosti rozpustný a zvětšuje tím elektrolysu.

### Teoretické důsledky.

Nemůže být pochyby, že náhlý vzrůst proudu, jevíci se na grafech (obr. 3 a 4) náhlým ohýbem křivky vzhůru, jest způsoben tvořením se amalgamy v kapkách rtuti na kathodě. Elektrolytické tvoření se amalgam na rtufové kathodě, jež bylo studováno na roztocích kalcia, stroncia a barya (práce Coehna a Kettembella z r. 1901-4) nedalo podobně jako v jiných případech studia elektrolyzy alkalických kovů spolehlivých výsledků, neboť ve všechn těchto případech bylo používáno rtuti se stálým povrchem, na němž vývoj vodíku znemožňuje přesnější měření; kromě toho překáží značná koncentrační polarisace vznikající na povrchu kathody. Pokusy v tom směru, opakováné autorem, udávaly počátek prostupu proudu při značně menším a měnlivém napětí, způsobeném náhodným vývojem vodíkových bublinek.

Podle teorie elektrolyzy způsobuje i nejmenší polarisující E. M. S. již vyloučení jakéhosi množství kationtů na povrchu kapky rtuti kathodicky polarisované, čímž vznikne nesmírně zředěná amalgama. Nepatrný proud ekvivalentní tomuto vyloučení prostoupí roztokem; ježto však povrch takto amalgamované rtuti má potenciál negativnější, proud zaniká následkem protichůdné E. M. S. Při ustavičném tvoření se kapek atomy kovu se stále ukládají do nového povrchu rtuti a proto prochází hned od počátku elektrolytem stálý nepatrny proud.

Zvětšující polarisující E. M. S. zvětšujeme koncentraci amalgamy v povrchu kapky, čímž nastane difuze amalgamy z povrchu do vnitřku kapky. Tím ochudí se povrch rtuti a nové kationty se musí usazovat: procházející proud se zesiluje. Jelikož je množství difundující pod povrch kapky úměrnou koncentraci C a-

malgamu v povrchu, a to závisí na potenciálu  $\pi$ , na nějž je kapka polarisovaná, vztahem

$$\pi = \frac{RT}{nF} \log k \cdot C$$

kde  $k$  je konstanta závislá na povaze kovu; jest intensita i proudu způsobeného difusi amalgamy rovná

$$i = K \cdot C = K \cdot e^{-\frac{nF}{RT}}$$

Křivka označující závislost proudu na napětí má tedy být exponenciálou. Na obr. 3 a 4 pozorujeme, že křivky postupují od rozkladného bodu ve tvaru exponenciál.

Novější měření potenciálů zředěných amalgam alkalických kovů (G. N. Lewis etc. Journ. Amer. Chem. Soc. 32, p. 1460, 34, p. 119, 35, p. 340, 37, p. 1983) dovolují nám odhadnouti koncentraci amalgamy, jež musí panovat v povrchu kapky při potenciálu odpovídajícím rozkladnému napětí. Předpokládáme-li, že desateronásobným zředěním nejsředěnějších amalgam alkalických kovů se změní jejich potenciály o 0,06 voltu, obdržíme podle uvedených prací koncentraci amalgamy v kapce při rozkladnění napětí rovnou  $10^{-6}$  gramatomu alkalického kovu v litru rtuti, t. j. amalgamu asi miliontinaprocentní.

Potenciály polarisující kapek byly stanoveny při elektrolyze normálního a decinormálního roztoku chloridu sodného tím, že kapky odkapávající v nádobce B (obr. 2) byly zachycovány v kalíšku s platinovým kontaktem a jejich potenciál měřen proti potenciálu rtuti na dně resp. proti kalomelové elektrodě spojené s roztokem.

Při malých napětcích až do rozkladného se potenciál těchto zachycovaných kapek nelíšil od potenciálu čisté rtuti v téme roztoku. Při 40 až 60 milivoltech nad rozkladným napětím se počaly však potenciály kapek lišiti od čisté rtuti již o milivolt a vzrůstaly rychle s polarisací, takže při E. M. S. 210 voltu měla rtuť v kalíšku zachycovaná již potenciál o 2 volty negativnější než čistá rtuť kalomelové elektrody a z povrchu rtuti v kalíšku se brzo počal vyvíjet vodík.

Polarisované kapky ztrácejí nepochyběně působením roztoku tak rychle onu řídounkou povrchovou amalgamu, že dopadají do kalíšku již jako čistá rtuť; až když difusi vnikne amalgama pod povrch, rtuť zachycená v kalíšku počne jevit potenciál amalgamy.

A finita alkalických kovů ke rtuti. Všeobecně se přijímá, že se alkalické

kovy svinčují se rtuti a že tyto sloučeniny se sdružují s dalšími molekulami rtuti, čili že jsou silně hydrargyrovány (Beckmann a Lieschke, Ztsch. anorg. Chem. 89, p. 171, Mc Phail Smith, Journ. Amer. Chem. Soc. 37, p. 77).

Nedávno upozornil Th. W. Richards (Journ. Amer. Chem. Soc. 44, p. 601, 1922), že se ani velmi zředěné amalgamy natria (0-02 proc.) nechovají jako ideální roztoky, vyznačujíce se příliš výkynmi poklesy v potenciálu při zředění a značným teplem zředovacím. Patrně i při těchto zředěních hydrargyrae stále prostupuje, nejsou ještě plně dosažena. Předpokládejme, že při jistém nesmírně velkém zředění nastává hydrargyrae úplná, t. j. že dalším zředěním nepřibírá již komplexní molekuly amalgamy více rtuti; pak takovéto zředění, pamuje-li na povrchu polarisované kapky rtuti, nezpusobí pozorovatelné difuse pod povrch, neboť částečky amalgamy jsou rtuti plně nasyceny a specificky vždy lehči. Jakmile však koncentrace amalgamy při zvětšování polarisace vzroste, snaha po sloučení se s větším množstvím rtuti i zvýšená koncentrace sama podporuje difusi komplexů dovnitř. To se patrně děje v kapkách po překročení rozkladného napětí a proto difuse a tím i zvětšení proudu se dostavuje od určitého napětí náhle.

Atomy alkalických kovů v povrchu rtuti v roztoku podlínají dvojnú příslušenství: jednak je jejich afinita ke rtuti udržuje v povrchu, na druhé straně však je pudr do roztoku jejich »elektrolytická tensa rozpouštěcí«.

Proto rozkladové potenciály alkalických kovů na rtuťové kathodě závisí i na jejich afinitě ke rtuti i na jejich elektrolytickém potenciálu.

Jelikož můžeme předpokládati, že při rozkladném napětí jsou amalgamy všech alkalických kovů v povrchu rtuti v analogickém stavu, t. j. ve stavu úplného dosycení rtuti, můžeme použít hodnot  $\pi_N$  k výpočtu afinity alkalických kovů ke rtuti. Thermodynamický udává potenciál  $\pi_N$  na nějž jsou polarisovány kapky při rozkladném napětí, patciální tensi alkalického kovu v amalgamě; plnou tensi alkalického kovu vyjadřuje jeho elektrolytický potenciál E. P. Sloučení kovu se rtuti změnilo tedy jeho aktivitu z hodnoty E. P. na  $\pi_N$ . Afinita A alkalického kovu ke rtuti jest tudiž rovna  $\pi_N - E. P.$

Ze zmíněných dat (G. N. Lewis (loc. cit.) a hodnot  $\pi_N$  (tab. 1), obdržíme pak afinitu

A, vyjádřenou v jednotkách volt-faraday pro gram-atom kovu (viz tab. 3).

Tab. 3.

Kov	E. P.	$\pi_N$	A = $\pi_N - E. P.$
Li	- 3.304	- 2.023	1.281
Na	- 2.998	- 1.860	1.138
K	- 3.208	- 1.883	1.325
Rb	- 3.205	- 1.796	1.409
Cs	(- 3.34)	- 1.837	(1.50)

Pozorujeme, že afinita kovu ke rtuti vzniká se stoupající atomovou vahou. Natrium zaujímá tu, jako vůbec v první skupině periodické soustavy, anomální postavení chovajíc se spíše jako ušlechtilý kov (srov. Mc Phail Smith, Ztsch. anorg. Chem. 58, [1908], p. 381); jeho amalgama jest ve vodě neobyčejně stálá, nikdy vývoj vodíka během této práce při elektrolyze sodných solí nerušil.

U caesia, jehož E. P. dosud stanoven nebyl, lze z extrapolace odhadnout afinitu ke rtuti na 1.5 volt-farad., což vede k hodnotě elektrolytického potenciálu — 3.34 voltu.

Za přípravu a poskytnutí významnějších roztoků, jakož i za propůjčení přístrojů a místnosti vděčí autor laskavosti prof. B. Brauner, jemuž a též prof. Štěrbovi-Böhmovi a Závinskovi děkuje za účinnou pomoc a za zájem.

Autor považuje za svou povinnost vyjádřiti svou závaznost zesnulému prof. B. Kučerovi, jenž její zapracoval do své metody polarisace kapající rtuti.

#### Résumé.

Dr. J. Heyrovský: L'électrolyse avec l'électrode à gouttes de mercure.

Pour rechercher les phénomènes d'électrolyse des solutions aqueuses de six alcalins et alcalino-terreux, l'auteur utilise l'électrode à gouttes de mercure introduite en physique par B. Kučera.

Le schéma de l'appareil employé est donné dans la figure 2.

Il a pu déterminer ainsi la marche exacte de l'électrolyse. D'après les expériences de l'auteur, l'électrolyse se produit lorsque la force électromotrice atteint une valeur déterminée, caractéristique du composé employé, et qui

dépend du logarithme de la concentration (voir les fig. 3 et 4).

L'accroissement rapide du courant se laisse expliquer par une diffusion, vers l'intérieur des gouttes de mercure, de l'amalgame très dilué. Cette diffusion commence lorsque les atomes du métal ne trouvent pas une quantité suffisante de mercure pour s'y allier.

À l'aide des résultats réunis dans la colonne E et  $\pi_0'$  des tabl. 1 et 2, l'auteur calcule les

potentiels auxquels les cathions se déposent, de leur solutions normales, à la cathode de mercure (col.  $\pi_N$ ).

L'affinité des métaux pour le mercure est donnée par la différence qu'il y a entre les potentiels caractéristiques des gouttes polarisées et les potentiels électrolytiques normaux des métaux alcalins purs (voir le tableau 3).

E. Votoček.

### Kritická studie o másle porušeném kokosovým tukem.

Dr. Jan Lukas.

Důležitý a značně praktického významu mající problém v potravní chemii jest stanovení kokosového tuku v másle. Otázku tuto studoval značný počet badatelů a jest i mnoho metod navrženo, ūčelu svému více neb méně vyhovujících.

Z této řady metod jest v potravních laboratořích téměř výhradně používána metoda Polenského<sup>1)</sup>, jež spolu s číslem zmýdelení tvoří u másla dvojici metod, na jejichž základě se zjišťuje čistota máselného tuku. Metoda tato uváděna jest na místě prvém, a to ne nápravem, neboť jest velmi jednoduchá, při čemž její provedení nevyžaduje dlouhého času, což zejména pro analytické laboratoře jest nemalé důležitosti. Řada badatelů, jako Ch. Barthel<sup>2)</sup>, Prescher<sup>3)</sup>, Kries<sup>4)</sup>, Vogthear<sup>5)</sup> vzdávají metodě této neomezenou chválu.

Rovněž Farnsteiner uvádí, že metody založené na principech podobných, jakož i metody spočívající na stanovení stříbrných, barnatých, hořečnatých a kademnatých solí nemohou zatlačiti metodu Polenského, ačkoliv i tyto metody mohou v jednotlivých případech konati velmi cenné služby.

Leč metodou přesně analytickou metoda tato přece není, neboť od metody takové žádáme, aby nám poskytla správný resultat za každých okolností, to jest za každého množství přidaného kokosového tuku v másle. Této podmínce vyhovuje metoda Polenského jen částečně. Polenske sám ve své

původní práci uvádí výsledky pokusů, kde množství přidaného kokosového tuku v másle bylo nejvýše 20%. Je-li toto množství větší než 20%, dává metoda jeho výsledky méně dobré, a to tím horší, čím množství přidaného tuku kokosového jest větší.

Chybou této jinak pěkné metody pozoroval již dr. Phizemair, který nacházel rovněž vysoké výsledky při másle porušeném kokosovým tukem, a tu, aby výsledky tyto lépe odpovídaly skutečnému množství kokosového tuku, používal místo korespondujících čísel Reichert-Meisslových s Polenského těch čísel, které Polenske uvádí jako nejvýše přípustné (tabulka B, práce Polenskho).

Rovněž Thure Smidberg<sup>6)</sup> seznal, upozorněn Phizemair, že metoda Polenského skýtá výsledky proti teoretickým vyšší, zejména pak v případech, kdy množství přidaného kokosového tuku v másle jest větší než 20%. Aby pak výsledky poskytnuté metodou Polenského uvedl na správnou míru, používá redukční formule:

$$\% \text{ kokosového tuku v másle } K = \frac{a \times 100}{100 + a}$$

kde a rovná se vypočteným % kokos. tuku, dle Polenského navržené souvislosti čísel Reichert-Meisslových a Polenského (tabulka B).

Leč i redukčního vzorce toho, ač dle mých pokusů vede skutečně k výborným resultátům, nelze použít v takovém případě, kdy množství přidaného kokosového tuku jest větší než 50%. Tu nedává již metoda Polenského správné výsledky.

<sup>1)</sup> Z. f. Untersuch. d. Nahrungs- u. Genussm. 1904, 7, 273.

<sup>2)</sup> Ch. Ztg. 1906, 30, 770.

<sup>3)</sup> Allg. Ch. Ztg. 1905, 5, 955.

<sup>4)</sup> Ch. Ztg. 1906, 30, 768.

<sup>5)</sup> B. d. Deutsch. Pharm. Ges. 1906, 16, 12.

<sup>6)</sup> Z. f. Unters. d. Nahrungs- u. Genus. 1913, 26, 422.